

北大	正員	工博	渡辺 昇
日立造船	正員	工修	多田和夫
北大院	掌正員		○工藤 明

## 1. まえがき

最近日本でも、斜張橋が注目され、多くの研究者がその解析、特性をいゆる一次理論(弹性理論)で解いて、発表されているが、斜張橋の变形を考慮した二次理論(挠度理論)で解いた論文は見あたらないようである。しかし、ドイツの Gerhard Schreier 氏が斜張橋の变形を考慮した、付加荷重の方法といわれる方法を発表している。又、それとは別に、独自の方法を考え出したので、簡単な斜張橋を例題に、その解析方法を述べる。

## 2. 斜張橋の挠度理論による解析方法

図-1 のような簡単な斜張橋について考える。支点 A はヒンジ支承、支点 B はローラー支承であり、外力は集中荷重  $P$  が静止して作用している。すると、斜索には引張力が生ずるため、これは図-2 のように、桁に対して、上向き垂直力  $V$ 、および、圧縮軸力  $H$  に分解できる。すなわち、図-2 の範囲 I、および、範囲 II には圧縮軸力、範囲 III には軸力のない状態になる。それぞれの範囲について、次の微分方程式が存在する。

圧縮軸力の作用する範囲 I、II では

$$EIY'' + HY' = 0 \quad \dots \dots \dots (1)$$

$$\text{或は } Y'' + P^2 Y' = 0 \quad \dots \dots \dots (2)$$

但し  $P_c = \sqrt{H/EI}$   $EI$  = 桁の曲げ剛性

圧縮軸力のない範囲では

$$EIY''' = 0 \quad \dots \dots \dots (3)$$

式(1)、(2)、(3)の解を示すと、次の表-1 のようになる。

表-1

	範囲 I	範囲 II	範囲 III
微分方程式	$Y''_x + P^2 Y'_x = 0$	$Y''_x + P^2 Y''_x = 0$	$Y'''_x = 0$
たわみ曲線	$y_x = A_1 + A_2 x + A_3 \sin P_c x + A_4 \cos P_c x$	$y_x = A_5 + A_6 x + A_7 \sin P_c x + A_8 \cos P_c x$	$y_x = A_9 + A_{10} x + A_{11} x^2 + A_{12} x^3$
たわみ角	$y'_x = A_2 + A_3 P_c \cos P_c x - A_4 P_c \sin P_c x$	$y'_x = A_6 + A_7 P_c \cos P_c x - A_8 P_c \sin P_c x$	$y'_x = A_{10} + 2A_{11} x + 3A_{12} x^2$
$y''$	$y''_x = -A_3 P_c^2 \sin P_c x - A_4 P_c^2 \cos P_c x$	$y''_x = -A_7 P_c^2 \sin P_c x - A_8 P_c^2 \cos P_c x$	$y''_x = 2A_{11} + 6A_{12} x$
$y'''$	$y'''_x = -A_3 P_c^3 \cos P_c x + A_4 P_c^3 \sin P_c x$	$y'''_x = -A_7 P_c^3 \cos P_c x + A_8 P_c^3 \sin P_c x$	$y'''_x = 6A_{12}$

表-1 から明かのように、合計 12 個の積分常数がある。これを解くために、境界条件、連続条件、それぞれ 4 個、8 個の合計 12 個の条件は次のようである。

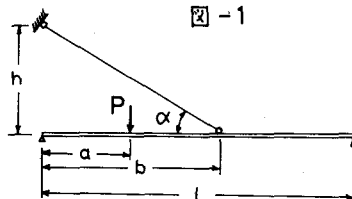


図-1

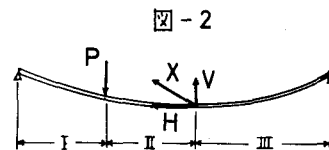


図-2

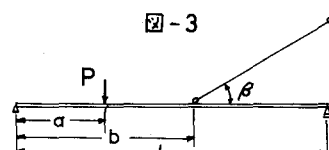


図-3

- (i)  $x=0$   $\tau'$ ,  $y_x=0$       (ii)  $x=0$   $\tau'$ ,  $M_x=0$       (iii)  $x=a$   $\tau'$ ,  $y_x=y_{\pi}$   
 (iv)  $x=a$   $\tau'$ ,  $y'_x=y_x$       (v)  $x=a$   $\tau'$ ,  $M_x=M_{\pi}$       (vi)  $x=a$   $\tau'$ ,  $Q_x-Q_{\pi}=P$   
 (vii)  $x=b$   $\tau'$ ,  $y'_x=y_{\pi}$       (viii)  $x=b$   $\tau'$ ,  $y'_x=y_x$       (ix)  $x=b$   $\tau'$ ,  $M_x=M_{\pi}$   
 (x)  $x=b$   $\tau'$ ,  $Q_x-Q_{\pi}=-V$  (xi)  $x=b$   $\tau'$ ,  $y_{\pi}=0$       (xii)  $x=b$   $\tau'$ ,  $M_{\pi}=0$

以上の12個の境界条件から、12個の積分常数を未知数とする12元連立一次方程式を立て、マトリックス表示すると式(4)のようになる。

$$\left[ \begin{array}{ccccccccccccc} 1 & 0 & 0 & 1 & 0 & 0 & 0 & 0 & 0 & 0 & 0 & 0 & 0 \\ 1 & 0 & 0 & 0 & 0 & 0 & 0 & 0 & 0 & 0 & 0 & 0 & 0 \\ 1 & a & \sinh kx & \cosh kx & -1 & -a & -\sinh kx & -\cosh kx & 0 & 0 & 0 & 0 & 0 \\ 0 & 1 & \cosh kx & \sinh kx & 0 & -1 & -\cosh kx & \sinh kx & 0 & 0 & 0 & 0 & 0 \\ 1 & a & 0 & 0 & -1 & -a & 0 & 0 & 0 & 0 & 0 & 0 & 0 \\ 0 & 1 & 0 & 0 & 0 & -1 & 0 & 0 & 0 & 0 & 0 & 0 & 0 \\ 0 & 0 & 0 & 0 & 1 & b & \sinh kx & \cosh kx & -1 & -b & -b^2 & -b^3 & A_1 \\ 0 & 0 & 0 & 0 & 1 & b & \cosh kx & -\sinh kx & 0 & -1 & -2b & -3b^2 & A_2 \\ 0 & 0 & 0 & 0 & 0 & b^2 & b^3 & 0 & 0 & 0 & -2 & -6b & A_3 \\ 0 & 0 & 0 & 0 & 0 & 1 & 0 & 0 & 0 & 0 & 0 & -6/b^2 & A_4 \\ 0 & 0 & 0 & 0 & 0 & 0 & 0 & 0 & 1 & l & l^2 & l^3 & A_5 \\ 0 & 0 & 0 & 0 & 0 & 0 & 0 & 0 & 0 & 0 & 2 & 6l & A_6 \end{array} \right] = \left[ \begin{array}{c} A_1 \\ A_2 \\ A_3 \\ A_4 \\ A_5 \\ A_6 \\ A_7 \\ A_8 \\ A_9 \\ A_{10} \\ A_{11} \\ A_{12} \end{array} \right] = \left[ \begin{array}{c} 0 \\ 0 \\ 0 \\ 0 \\ 0 \\ 0 \\ -P/H \\ 0 \\ 0 \\ 0 \\ V/H \\ 0 \\ 0 \end{array} \right] \quad \dots (4)$$

もしも、図-3のような場合、橋に対して、上向き垂直力  $V$ 、引張軸力  $H$  が作用する。

すると、微分方程式は範囲 I, II では

$$y'' - \frac{P}{EI} y''' = 0 \quad \dots \dots \dots (5) \quad \text{但し } \frac{P}{EI} = \sqrt{\frac{H}{EI}}$$

$$y''' = 0 \quad \dots \dots \dots (6)$$

それを用いた範囲の微分方程式とその解は表-1において、 $\sinh kx \rightarrow \sinh kx$ ,  
 $\cosh kx \rightarrow \cosh kx$ にして、符号をすべて正に読みかえたものとなる。これに又、12個の境界条件を代入すると、式(4)と同じように、12個の積分常数を決定する12元連立一次方程式となり、マトリックス表示すると、式(7)のようになる。

$$\left[ \begin{array}{ccccccccccccc} 1 & 0 & 0 & 1 & 0 & 0 & 0 & 0 & 0 & 0 & 0 & 0 & 0 \\ 1 & 0 & 0 & 0 & 0 & 0 & 0 & 0 & 0 & 0 & 0 & 0 & 0 \\ 1 & a & \sinh kx & \cosh kx & -1 & -a & -\sinh kx & -\cosh kx & 0 & 0 & 0 & 0 & 0 \\ 0 & 1 & \cosh kx & \sinh kx & 0 & -1 & -\cosh kx & \sinh kx & 0 & 0 & 0 & 0 & 0 \\ 1 & a & 0 & 0 & -1 & -a & 0 & 0 & 0 & 0 & 0 & 0 & 0 \\ 0 & 1 & 0 & 0 & 0 & -1 & 0 & 0 & 0 & 0 & 0 & 0 & 0 \\ 0 & 0 & 0 & 0 & 1 & b & \sinh kx & \cosh kx & -1 & -b & -b^2 & -b^3 & A_1 \\ 0 & 0 & 0 & 0 & 1 & b & \cosh kx & -\sinh kx & 0 & -1 & -2b & -3b^2 & A_2 \\ 0 & 0 & 0 & 0 & 0 & b^2 & b^3 & 0 & 0 & 0 & 2 & 6b & A_3 \\ 0 & 0 & 0 & 0 & 0 & 1 & 0 & 0 & 0 & 0 & 0 & 6/b^2 & A_4 \\ 0 & 0 & 0 & 0 & 0 & 0 & 0 & 0 & 1 & l & l^2 & l^3 & A_5 \\ 0 & 0 & 0 & 0 & 0 & 0 & 0 & 0 & 0 & 0 & 2 & 6l & A_6 \end{array} \right] = \left[ \begin{array}{c} A_1 \\ A_2 \\ A_3 \\ A_4 \\ A_5 \\ A_6 \\ A_7 \\ A_8 \\ A_9 \\ A_{10} \\ A_{11} \\ A_{12} \end{array} \right] = \left[ \begin{array}{c} 0 \\ 0 \\ 0 \\ 0 \\ 0 \\ 0 \\ P/H \\ 0 \\ 0 \\ 0 \\ -V/H \\ 0 \\ 0 \end{array} \right] \quad \dots (7)$$

式(4), 式(7)は集中荷重  $P$ , 水平分力  $H$ , 垂直分力  $V$  が与えられると、解くことができる。  
 これらの式を筆算で求めて積分常数を決定するのはめんどうである。そこで電子計算機のサブルーチンを有効に利用して、12個の積分常数  $A_1, A_2, \dots, A_{12}$  を求めると、表-1より、たわみ、たわみ角モーメント、剪断力を求めることができる。

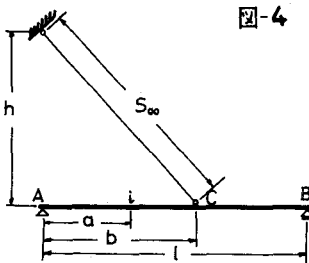


図-4

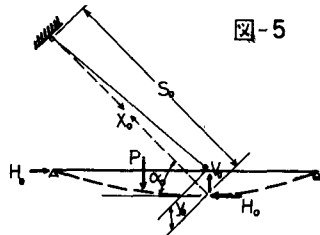


図-5

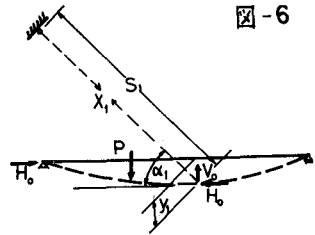
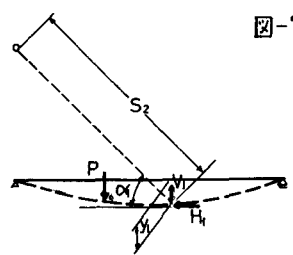


図-6

図-4は無載荷の状態であり、桁のたわみ曲線は水平であり。ザイル内、桁内の力は零である。まず、図-5において、点しに集中荷重  $P$  [kg] を作用させると、一次理論より一次不静定として解くと、不静力  $X_0$  [kg]、その水平分力  $H_0$  [kg]、鉛直分力  $V_0$  [kg]、ザイル取付点の桁のたわみ  $y_0$  [cm] が求まり、さらに、 $y_0$  より幾何学的関係から、角度  $\alpha$ 、斜索長  $S_0$  が求まる。次に図-6において、点しに集中荷重  $P$  が作用し、ザイル取付点に  $V_0$ 、 $H_0$  が作用すると考えて、前述の二次理論からザイル取付点の桁のたわみ  $y_1$  を求める。そして又、幾何学的関係から  $\alpha$ 、 $S_1$  が求まる。又、ザイルの伸びとザイル張力の関係から次式が成立立つ。

$$X_1 = X_0 \frac{S_1 - S_0}{S_0 - S_0} \quad \dots \dots (8)$$



式(8)より  $X_1$  が求まる。従って、 $H_1 = X_1 \cos \alpha$ 、 $V_1 = X_1 \sin \alpha$  で、 $H_1$ 、 $V_1$  が求まる。再び図-7において、点しに  $P$  が作用し、 $H_1$ 、 $V_1$  が作用すると考えて、二次理論より、 $y_2$  を求めこれより  $\alpha_2$ 、 $S_2$  を求め、前と同様にして  $X_2$ 、 $H_2$ 、 $V_2$  を求める。以上の過程をくり返すことにより、すべての値、すなわちザイルの張力  $X$ 、モーメント  $M$ 、剪断力  $Q$ 、たわみ  $y$ 、たわみ角  $\alpha$  がある一定値に収斂する。これらの値が点しに外力  $P$  [kg] が作用した時の斜張橋の挠度理論による値である。次に、外力  $P$  [kg] を他の点に移動させ、同じような操作をくり返して計算する。以上の計算は電子計算機を有効に活用して、求めることができます。この考え方を複雑な斜張橋に応用するには、弾性理論でザイル張力を出し、それを分力にわけて、桁と塔に作用させ2次理論から変形を出して、ザイル取付点の位置に注目して、ザイル張力を算出して、同じ操作をくり返すことにより、変形、断面力を求めろ。

### 3. 計算例

図-1において、支点Aより荷重作用点までの距離  $a = 9\text{ m}$ 、ザイル取付点までの距離  $b = 21\text{ m}$   $h = 18\text{ m}$ 、桁の曲げ剛性  $EI = 6.0 \times 10^4 \text{ t} \cdot \text{m}^2$ 、ザイルの断面積  $A_s = 5.0 \text{ cm}^2$ 、ザイルのヤング率  $E_c = 1.4 \times 10^6 \text{ kg/cm}^2$ 、集中荷重  $P = 30\text{t}$  を作用させた時、ザイルの張力  $X$ 、桁のたわみ曲線  $y$ 、たわみ  $y'$ 、モーメント  $M$ 、剪断力  $Q$  を計算するため、北大電子計算機HARPIO-3のプログラムを作成した。このプログラムでは、まず、図-1の状態の弾性理論による  $X$ 、 $y$ 、 $y'$ 、 $M$ 、 $Q$  を求め、さらに二次理論により、 $X$ 、 $y$ 、 $y'$ 、 $M$ 、 $Q$  を何回もくり返して、最終的には、ある収斂値で計算機がStopするようにした。このくり返し計算によって順次叩き出した、ザイル張力  $X$ 、荷重作用点のたわみ  $y_1$ 、荷重作用点のモーメント  $M_1$ 、支点Aの反力  $R$  を図-8、図-9、図-10、図-11の順に示すと次の図のとおりである。ここではザイル張力の関係が  $(X_n - X_{n-1})/X_{n-1} = 0.008$  において、収斂値にあるよう

にした。すなわち、これら図から見て、明確かなようにおおよそ 16 回のくり返し計算で、収斂値に達していることがわかる。又弾性理論値と挠度理論値を比較すると、ゲイル張力は増加し、荷重作用点のたわみ、モーメント、支点 A の反力は減少していることがわかる。

#### 4. あとがき

本論文では、非常に簡単な斜張橋を例として、解析方法を述べたが、図-12 のような高次不静定においては、弾性理論で解くのでさえも、相当めんどうである。又、挠度理論で解く場合、支点条件が重要であり、又積分常数を決める時、解に対する 40 次連立一次方程式を解かなくてはならないし、荷重 P、断面値も実際の値を使わなくてはならない。現在、図-12 のよ

うな構造系に対して、本解析方法と、

G. Schreier 氏の弾性理論影響線を基本にして、計算する方法をプログラム化することを研究中であるので、後日発表したいと考えている。

#### 参考文献

- (1). 渡辺、多田、宮本、斜張橋の構造特性について、北海道支部論文集第 24 号  
長谷川、成田、還元法による斜張橋の解析、土木学会誌 vol 53, 5, 1968  
橋、中井、川根、斜張橋の静力学的解析、関西支部年次学術講演会、講演概要 昭和 43 年  
前田、林、大森、斜張橋の静定解析について、同上。
- (2). G. Schreier: Beiträge zur Anwendung von baustatischen Methoden auf Problem der Verformungstheorie. 1961.

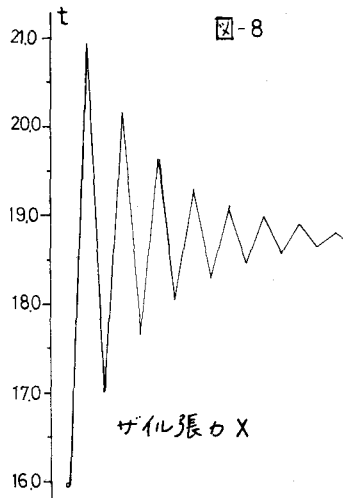


図-8

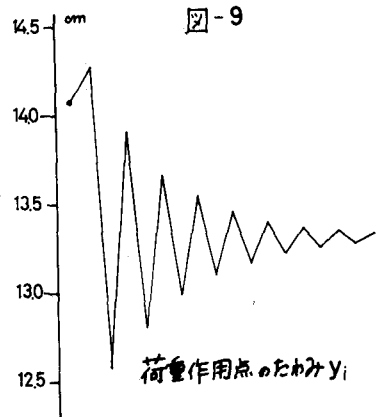


図-9

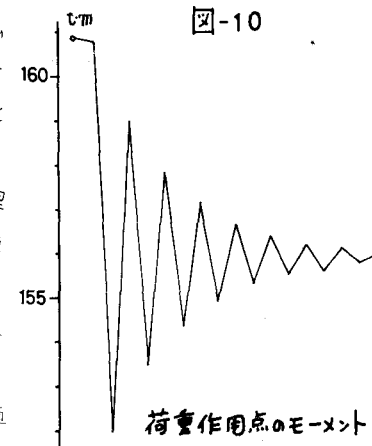


図-10

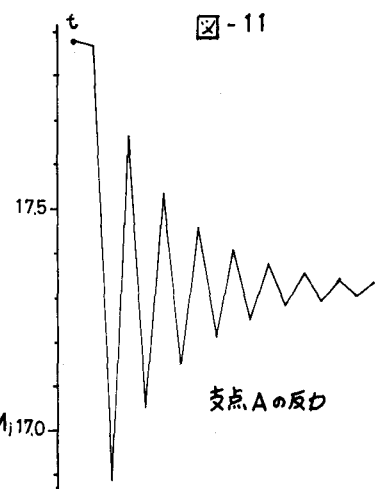


図-11

荷重作用点のモーメント  $M_i$

支点 A の反力

図-12

